

岐阜県立	正員	金森 喬	倍 恒一
岐阜工業高等専門学校	正員	猪俣 恒一	
株式会社 永井建設		飯塚 美夫	
株式会社 大日本土木		今西 良雄	
多治見市役所		加藤 泰治	

### 1. まえがき

砂地盤の地震時液状化については、多くの研究成果が発表され、液状化は砂地盤が地震せん断波によって、圧密現象を起こし、地盤へ向う水漏れによる浸透力が鉛直有効応力に等しくなったときに発生するといわれている。構造物近傍の砂地盤の液状化については、吉見等<sup>1)</sup>の論文によつて過剰間隙水圧比 $\epsilon_r = 0.5$ （いま過剰間隙水圧、 $\sigma'_v$  は初期有効鉛直応力）発生状況が示され、この方面的研究に有効な指針が与えられてゐる。液状化防止上対策としてのグラベルドレーンについての研究報告も多い。しかし、構造物周辺の基礎地盤における液状化発生領域についての報告は、寡聞にして知らない。有効な液状化防止対策は、先ず液状化領域を予測することによって得られることの立場から、私達は模型実験によつて構造物近傍の基礎地盤における液状化発生領域をさげすり、写真撮影によつて観察できたりで、これらの研究成果について報告する。

### 2. 実験の装置と方法

図1は振動台上の砂槽の床から設置された堤防の模型と水圧計の配置図である。加振方向の側壁にはオームツバーを取付けて砂層のせん断形変拘束し砂の下ランクしてある。底面は粗い砂である。砂は木曽川砂で、比重は2.65、内部摩擦角はゆるく約35°、密に約40°、粒径分布曲線は図2に示すおりで均等係数は2.81であった。グラベルドレーンの比重は2.65、粒径は2.0~9.5 mmの範囲であった。先ず砂槽に計量した水を入れておき、水中に計量した砂を地盤面と水面が一致するまで入此、その上に堤防と同じ砂をつくり、砂槽を3 C/S の振動数で10 gal/s 小加速度で10回程加振して砂地盤を圧密地盤面にたまつた水を抜き取って、そのままで放置して砂の全容積を測定して初期間隙水圧比 $\epsilon_0$ を割り出した。

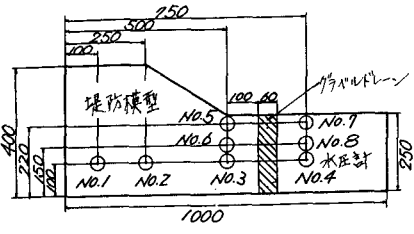


図1 堤防模型と計器配置図 (mm)

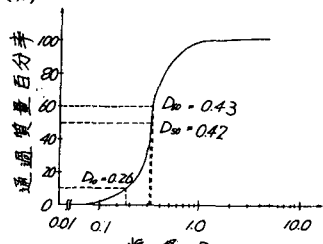


図2 砂の粒径加積曲線

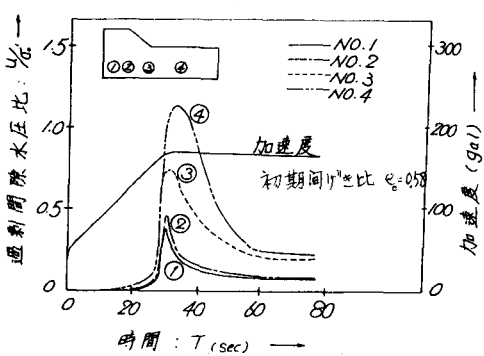


図3 過剰間隙水圧比と加速度との関係

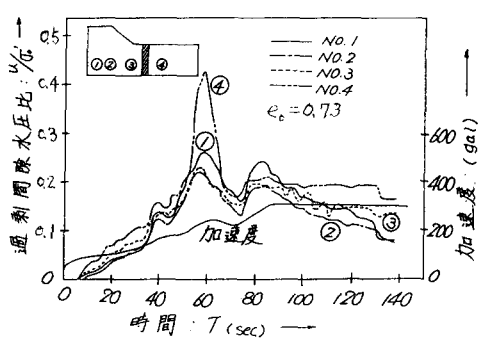


図4 グラベルドレーンがある場合の効果

た。初期間隔比は 0.58 ~ 0.78 の間にあつた。上記のような初期処理を行なつたのは、振動回数による過剰間隔比水圧の蓄積よりも加速度の大きさの方が、この実験の液状化に大きく影響することを水平地盤面に対する予備実験からわかつてゐる。液状化に至るまでの全過程をビデオ撮影し、液状化領域における砂の流动を写真撮影して観察することとなつた。

### 3. 実験の結果

堤防周辺地盤における過剰間隔比水圧比  $u/\sigma_0'$  と加速度、ならびに加振時間との関係を、グラベルドレーンがない場合とある場合とにについて、夫次用 3, 図 4 に示した。液状化発生時の加速度は、グラベルドレーンがない場合で 140 gal, ある場合で 160 gal である。それによると、地表面に静かに水がたまり、上記加速度に至ると図 5 に示すような液状化が地表面近くから発生し次第に深い方へ拡がり最終深さに至った後、加振は関係なく、逆順序で消滅していくのが観察される。液状化深さは次式のように表わされる(図 6 参照)

$$z = 12.4 (1 - e^{-0.29x}) \quad (1)$$

(1) 式で表わされた曲線上においては、次式が成立する。

$$\frac{u}{\sigma_0'} \cos \theta = 1 \quad (2)$$

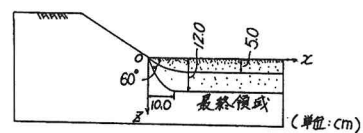
$$\text{ただし } \theta = \tan^{-1} \left( \frac{dz}{dx} \right)$$

このことは圧縮による上昇水の方向は、この曲線に垂直になつてゐることを示すもので、過剰間隔比水圧比  $u/\sigma_0'$  は、圧縮排水が鉛直に向かう特別の場合を表したものである。写真 1 はのり庇附近の砂の流动を示したもので、写真 2 は、グラベルドレーンがない場合の堤防の破壊は、斜面のすべり破壊ではなく堤防全体が沈下して破壊したものであることを示している。

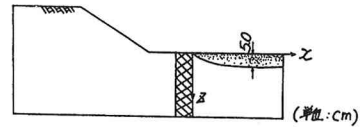
グラベルドレーンがある場合は、堤防に破壊はない。  
砂の流动を示した写真は岐阜専門技術者支援によるものである。改めて感謝の意を表す。

### 4. 参考文献

- 1) Yoshimi, Y and K. Tokimatsu (1977) : Settlement of Buildings on Saturated Sand During Earthquakes, 土質工学会論文報告集, Vol. 17, No. 1
- 2) Seed, H. B. and J. R. Booker (1977) : Stabilization of Potentially Liquefiable Sand Deposits Using Gravel Drains, J. GED, ASCE, Vol. 103, No. 4T7 (紙面の都合で 1 個だけあげた)



(a) グラベルドレーンなし



(b) グラベルドレーンあり

図 5 液状化領域

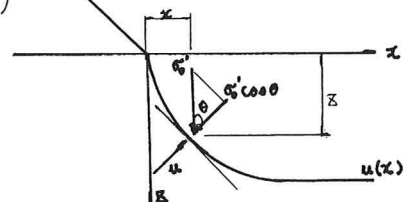


図 6 最終液状化深さ

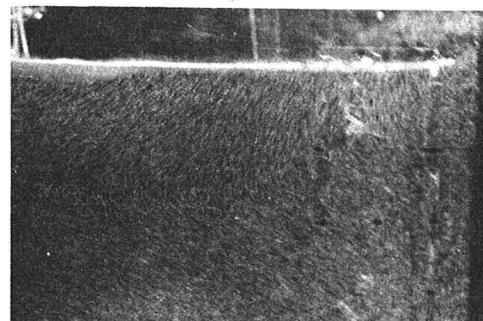


写真 1 砂の流动状況

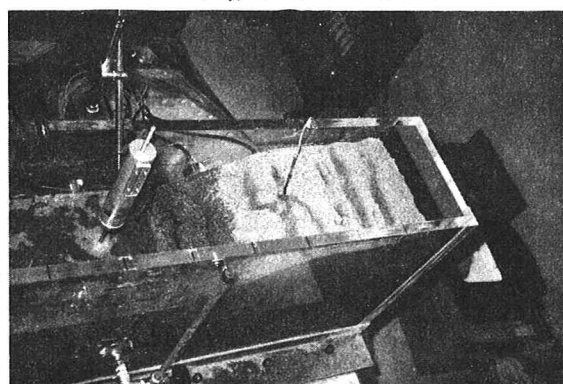


写真 2 堤防の破壊